



Маятник Капицы

Исследовательская работа

Грошева Максима

МФТИ, Б01-206, 1 курс

2022 год

Маятник Капицы –

Система из грузика, прикрепленного к легкой нерастяжимой спице, которая прикреплена к подвесу. Маятник получим своё название в честь одного из основателей МФТИ – К.П. Капицы.

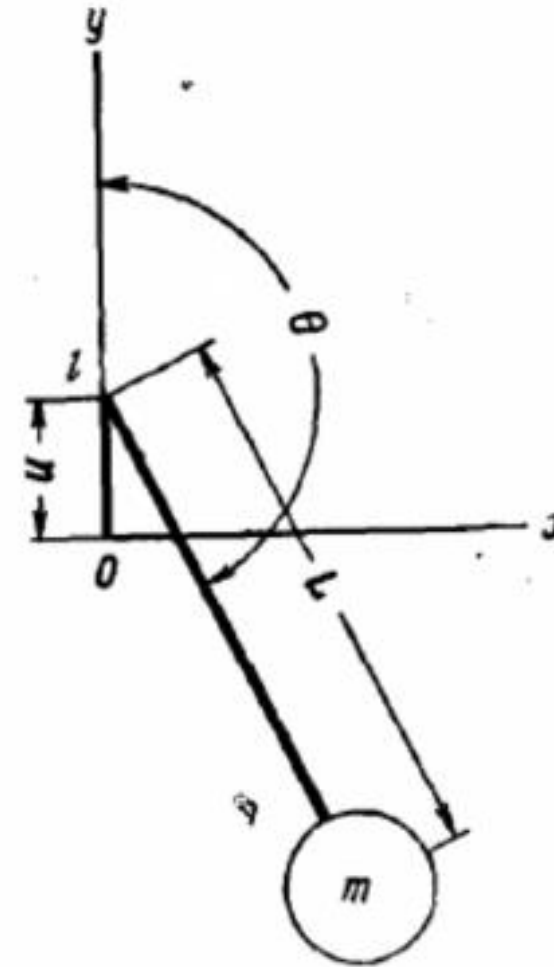


Рис. 1. Схема маятника

Энергия маятника

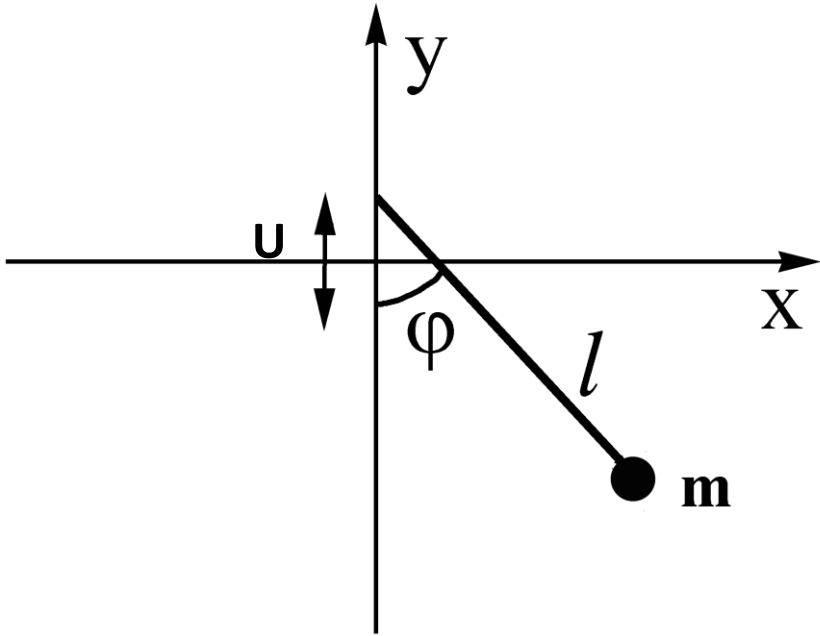


Рис. 2. Схема маятника

Координаты по осям:

$$\begin{cases} x = l \sin(\varphi) \\ y = -u \cos(\Omega t) - l \cos(\varphi) \end{cases}$$

Тогда потенциальная энергия:

$$\Pi = -mg(l \cos(\varphi) + u \cos(\Omega t))$$

Кинетическая энергия:

$$K = \frac{m}{2}(\dot{x}^2 + \dot{y}^2) = \frac{ml^2}{2}\dot{\varphi}^2 + mul\Omega(\sin(\Omega t))(\sin(\varphi))\dot{\varphi} + \frac{mu^2\Omega^2}{2}\sin^2(\Omega t)$$

Лагранжиан системы:

$$L = K - \Pi = \frac{ml^2}{2}\dot{\varphi}^2 + mul\Omega(\sin(\Omega t))(\sin(\varphi))\dot{\varphi} + \frac{mu^2\Omega^2}{2}\sin^2(\Omega t) + mg(l \cos(\varphi) + u \cos(\Omega t))$$

Уравнение движения маятника

$\frac{d}{dt} \frac{\partial L}{\partial \dot{\varphi}} = \frac{\partial L}{\partial \varphi}$ - уравнение движения маятника
будет удовлетворять условиям уравнения
Эйлера – Лагранжа, тогда вычислим:

$$\frac{\partial L}{\partial \dot{\varphi}} = ml^2 \dot{\varphi} + mul\Omega(\sin(\Omega t))(\sin(\varphi))$$
$$\frac{\partial L}{\partial \varphi} = mul\Omega(\sin(\Omega t))(\cos(\varphi))\dot{\varphi} - mgl(\sin(\varphi))$$

После упрощения получаем:

$$\ddot{\varphi} = -\frac{u\Omega^2}{l} \cos(\Omega t) (\sin(\varphi)) - \frac{g}{l} (\sin(\varphi))$$

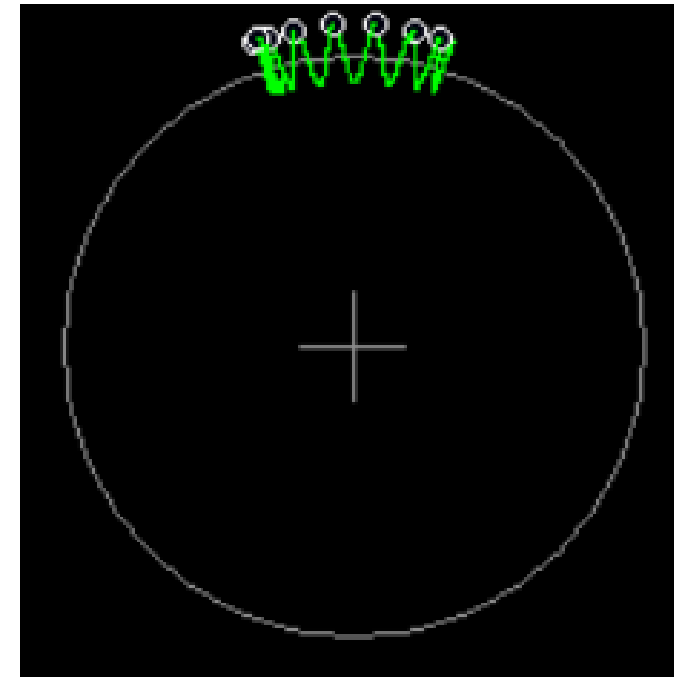
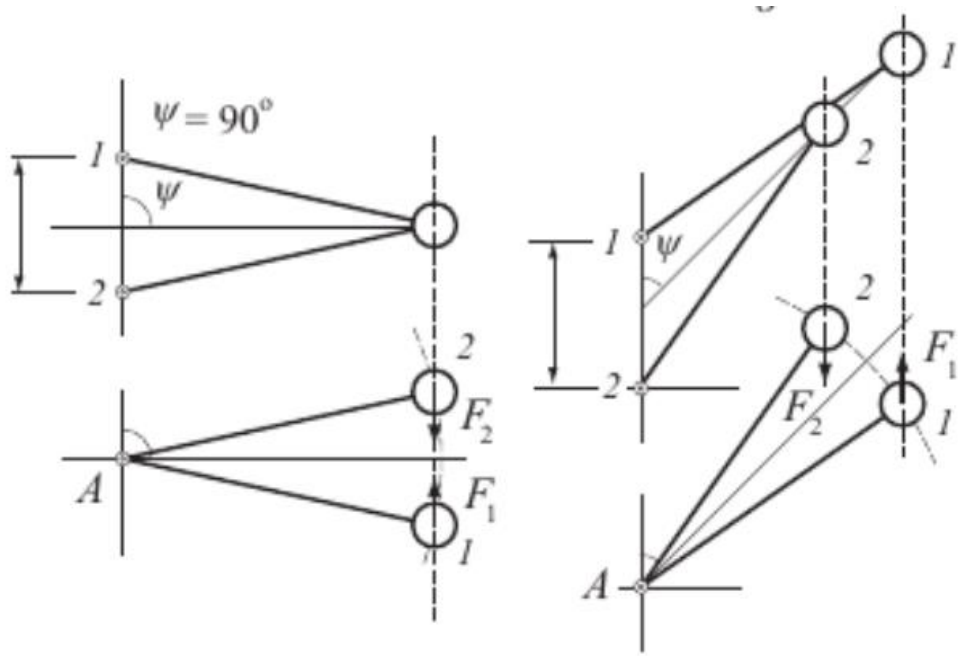


Рис. 3. Траектория движения маятника Капицы

Момент инерциальной силы



В связи с тем, что в крайних положениях 1 и 2 модуль инерциальной силы $F = m\Omega^2 y(t)$ одинаковый, а плечо разной длины. За период маятник начинает стремиться в положение равновесия в точке (0, l) т.к. средний момент инерциальной силы не отличен от нуля

$$M = \frac{m(lu\Omega)^2}{4} \sin(2\varphi)$$

Рис. 4. Момент инерциальной силы

Симуляция колебаний при
помощи приложения “Nonlinear
oscillations”

Зависимость траектории от угла начального отклонения

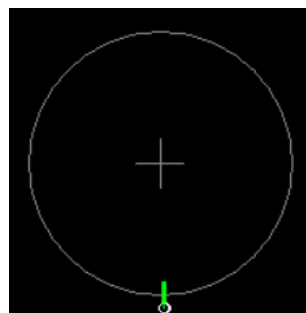
Рассмотрим три настройки маятника с различными углами отклонения.

Опыт 1:

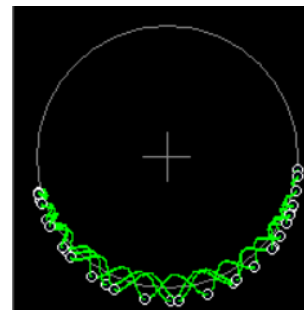
Таблица 1. Колебания при $\phi' \ll \Omega$

масса, m (кг)	длина спицы, l (м)	амплитуда колебаний подвеса, u (м)	частота вынужденных колебаний, Ω (с ⁻¹)	начальная частота собств. колеб., ϕ (с ⁻¹)	g (м/с ²)	угол отклонения, φ (рад)
1	1	0,1	40	0,1	10	0
1	1	0,1	40	0,1	10	$\pi/2$
1	1	0,1	40	0,1	10	π
1	1	0,1	40	0,1	10	$\pi/180$

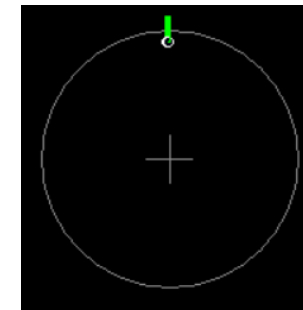
При углах отклонения $\varphi = \pi$ колебания маятника вдоль оси x малы. Кроме того (0,1) абсолютно неустойчивого равновесия для математического маятника, может оказаться точкой устойчивого равновесия для маятника Капицы.



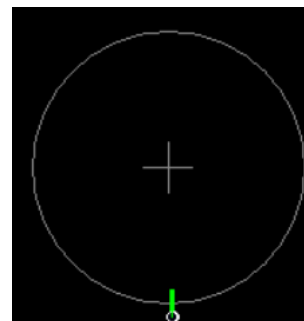
а)



б)



в)



г)

Рис. 5. Траектории движения маятника

а) $\varphi = 0$ б) $\varphi = \pi/2$ в) $\varphi = \pi$ г) $\pi/180$

Зависимость колебаний от начальной частоты $\dot{\varphi}$

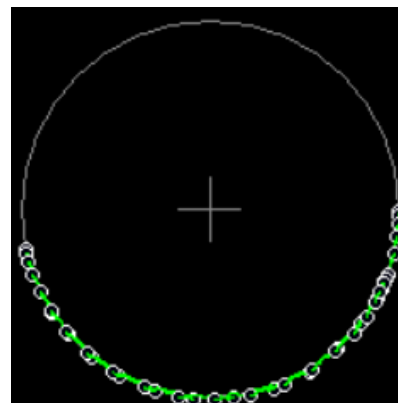
Настроим маятник так, чтобы амплитуда колебаний подвеса была мала. Частоту колебаний будем изменять.

Опыт 2:

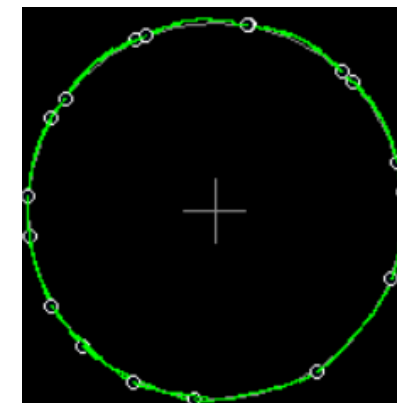
Таблица 2. Колебания при различных значения $\dot{\varphi}$

масса, m (кг)	длина спицы, l (м)	амплитуда колебаний подвеса, u (м)	частота вынужденных колебаний, Ω (с ⁻¹)	начальная частота собств.колеб., $\dot{\varphi}$ (с ⁻¹)	g (м/с ²)	угол откло нения, φ (рад)
1	1	0,01	40	0,1	10	$\pi/2$
1	1	0,01	40	5	10	$\pi/2$

При малых значениях амплитуда колебаний подвеса траектория колебаний маятника приобретает вид колебаний математического маятника.



а)



б)

Рис. 6. Траектории движения маятника а) $\dot{\varphi} = 0,1$ б) $\dot{\varphi} = 5$

Колебания маятника при больших значениях амплитуды колебаний подвеса

Настроим маятник с различной амплитудой колебаний подвеса.

Опыт 3:

Таблица 3. Колебания при различных амплитудах колебаний подвеса						
масса, m (кг)	длина спицы, l (м)	амплитуда колебаний подвеса, u (м)	частота вынужденных колебаний, Ω (с ⁻¹)	начальная частота собств.колеб., ϕ (с ⁻¹)	g (м/с ²)	угол откло нения, ϕ (рад)
1	1	0,1	40	0,1	10	$\pi/2$
1	1	0,3	40	0,1	10	$\pi/2$
1	1	0,5	40	0,1	10	$\pi/2$

С увеличением амплитуды траектория движения маятника становится сложнее, при этом сам груз бывает в большем количестве точек координатного пространства.

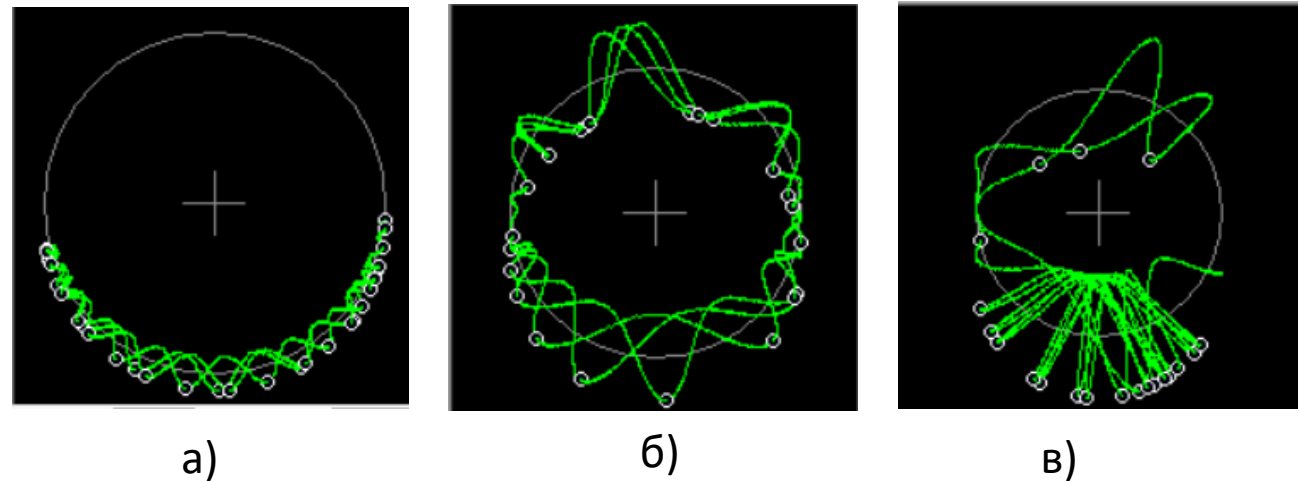


Рис. 7. Колебания маятника при различных значениях амплитуды u а) u = 0,1 б) u = 0,3 в) u = 0,5

Обоснование полученных результатов

- 1) Появление точки устойчивого равновесия $(0, l)$ обусловлено возникновением вибрационного момента $M = \frac{m(lu\Omega)^2}{4} \sin(2\varphi)$, который при условии, что $mu^2 l \Omega^2 / 2gl > 1$ стремится привести колебания маятника вдоль оси колебаний подвеса, кроме того, при выполнении этого условия, маятник будет иметь две точки неустойчивого равновесия $\pm \arccos(-\frac{2gl}{mu^2 l \Omega^2})$.
- 2) При малой амплитуде колебаний подвеса вибрационный момент мал, поэтому колебания маятника Капицы становятся похожими на колебания математического маятника, это связано с тем, что момент вибрационных сил мал.

Вывод:

- 1) В данной работе был изучен маятник Капицы и получены формулы для вычисления положений его равновесия: два устойчивых $(1, 0)$, $(0, 1)$ и два неустойчивых
- 2) При помощи компьютерного моделирования была изучена траектория движения маятника в зависимости от изменений различных параметров.